

# DCD不同施用时间对水稻生长期CH<sub>4</sub>和N<sub>2</sub>O排放的影响

李香兰<sup>1,4</sup>, 马静<sup>1,4</sup>, 徐华<sup>1,\*</sup>, 曹金留<sup>2</sup>, 蔡祖聪<sup>1</sup>, K. Yagi<sup>3</sup>

(1. 中国科学院南京土壤研究所, 土壤与农业可持续发展国家重点实验室, 江苏南京 210008;

2. 江苏农林职业技术学院, 江苏句容 212400; 3. 国立农业环境技术研究所, 日本筑波 305;

4. 中国科学院研究生院, 北京 100049)

**摘要:** 硝化抑制剂传统的施用方法是在作物移栽或播种前与基肥配合施用。通过温室盆栽试验研究相同施肥条件下, 硝化抑制剂双氢胺(dicyandiamide, DCD)不同施用时间(与基肥混施、分孽肥后施入、穗肥后施入)对水稻生长期CH<sub>4</sub>和N<sub>2</sub>O排放的影响。结果表明, 施入DCD能同时降低CH<sub>4</sub>和N<sub>2</sub>O排放量。就整个水稻生长期而言, 与基肥混施DCD分别降低21.41%的CH<sub>4</sub>排放量和8.00%的N<sub>2</sub>O排放量; 调节DCD施用时间至分孽肥后显著降低30.30%的N<sub>2</sub>O排放量, 同时降低5.24%的CH<sub>4</sub>排放量。就施入DCD到水稻收获的特定生长阶段而言, 缓施DCD分别降低32.65%的N<sub>2</sub>O排放量和11.18%的CH<sub>4</sub>排放量; 晚施DCD对CH<sub>4</sub>和N<sub>2</sub>O排放的影响不大。CK、早施DCD、缓施DCD及晚施DCD处理CH<sub>4</sub>平均排放通量分别为0.95、0.75、0.87 mg/(m<sup>2</sup>·h)及0.94 mg/(m<sup>2</sup>·h), N<sub>2</sub>O平均排放通量为155.67、143.24、108.50 μg/(m<sup>2</sup>·h)及153.24 μg/(m<sup>2</sup>·h), 缓施DCD显著降低CH<sub>4</sub>和N<sub>2</sub>O排放量( $p < 0.01$ )。土壤温度是影响N<sub>2</sub>O排放的主要因素, 而CH<sub>4</sub>排放通量与土壤Eh呈显著负相关( $p < 0.01$ )。

**关键词:** 硝化抑制剂; 双氢胺(DCD); CH<sub>4</sub>和N<sub>2</sub>O; 水稻土

文章编号: 1000-0933(2008)08-3675-07 中图分类号: X823 文献标识码: A

## Effect of different application time of DCD on methane and nitrous oxide emissions during rice growth period

LI Xiang-Lan<sup>1,4</sup>, MA Jing<sup>1,4</sup>, XU Hua<sup>1,\*</sup>, CAO Jin-Liu<sup>2</sup>, CAI Zu-Cong<sup>1</sup>, K. Yagi<sup>3</sup>

1 Institute of Soil Science, Chinese Academy of Sciences, State Key Laboratory of Soil and Sustainable Agriculture, Nanjing, Jiangsu 210008, China

2 Jiangsu Polytechnic College of Agriculture and Forestry, Jurong, Jiangsu 212400, China

3 National Institute of Agro-Environmental Sciences, Tsukuba 305, Japan;

4 Graduate University of Chinese Academy of Sciences, Beijing 100049, China

Acta Ecologica Sinica, 2008, 28(8): 3675 ~ 3681.

**Abstract:** Traditionally, nitrification inhibitor is applied together with basal fertilizer before transplanting or seeding of rice. A pot experiment in greenhouse was carried out to study effect of timing of application of nitrification inhibitor (dicyandiamide, DCD) on methane (CH<sub>4</sub>) and nitrous oxide (N<sub>2</sub>O) emissions during the rice growth period. Four treatments in triplicate including CK (without DCD), Treatment EA (early application of DCD together with basal

**基金项目:** 国家自然科学基金资助项目(40621001, 40671094)

**收稿日期:** 2007-05-11; **修订日期:** 2007-12-12

**作者简介:** 李香兰(1980~), 山东莱芜人, 博士生, 主要从事农田生态系统温室气体排放及全球变化研究. E-mail: xlli@issas.ac.cn

\* 通讯作者 Corresponding author. E-mail: hxu@issas.ac.cn

**Foundation item:** The project was financially supported by National Natural Science Foundation of China (No. 40621001, 40671094)

**Received date:** 2007-05-11; **Accepted date:** 2007-12-12

**Biography:** LI Xiang-Lan, Ph. D. candidate, mainly engaged in greenhouse gases emission of agro-ecosystem and global change. E-mail: xlli@issas.ac.cn

fertilizer); Treatment DA (delayed application, 10 days after the top dressing at the tillering stage), and Treatment LA (late application, 10 days after the side-dressing), were implemented in this experiment. Results indicated that application of DCD inhibited both CH<sub>4</sub> and N<sub>2</sub>O emissions, which was reduced by 21.41% and 8.00%, respectively in Treatment EA, by 30.30% and 5.24% in Treatment DA, and by 32.65% and 11.18% during the period from application of DCD to harvest of the crop in Treatment DA, but not much affected in Treatment LA. The CH<sub>4</sub> flux in Treatments CK, EA, DA and LA was 0.95, 0.75, 0.87 and 0.94 mg/(m<sup>2</sup>·h), and N<sub>2</sub>O flux was 155.67, 143.24, 108.50 and 153.24 µg/(m<sup>2</sup>·h), respectively. Delayed application of DCD decreased CH<sub>4</sub> and N<sub>2</sub>O emissions significantly ( $p < 0.01$ ). Significant negative correlation between CH<sub>4</sub> flux and soil Eh was observed and the fact that soil temperature was the main factor affecting N<sub>2</sub>O emission during the rice growth period was found.

**Key Words:** nitrification inhibitor; dicyandiamide (DCD); CH<sub>4</sub> and N<sub>2</sub>O emissions; rice paddy soil

CH<sub>4</sub>和N<sub>2</sub>O是两种重要的温室气体。虽然它们在大气中含量低于CO<sub>2</sub>,增温潜势却分别是CO<sub>2</sub>的23倍和296倍<sup>[1]</sup>。N<sub>2</sub>O还是导致臭氧层破坏的光化学反应的主要参与者,据估计,大气N<sub>2</sub>O浓度增加一倍,平流层臭氧浓度将减少10%,到达地球表面的紫外辐射将增强20%<sup>[2]</sup>。大气中增加的CH<sub>4</sub>和N<sub>2</sub>O约70%~90%来自生物源,其中相当一部分来自农田生态系统<sup>[3]</sup>。我国是水稻种植大国,因此对我国稻田CH<sub>4</sub>和N<sub>2</sub>O排放规律、总量估算及减缓措施的研究一直受到国内外的高度关注。

尿素是我国广泛使用的氮肥品种,施肥是导致土壤中CH<sub>4</sub>和N<sub>2</sub>O排放增多的一个重要原因。氮肥施入后,土壤硝化和反硝化作用不仅导致N<sub>2</sub>O的产生,而且还造成其它形态的氮素损失。而硝化抑制剂与氮肥配合施用,通过抑制硝化细菌的活性,使施入土壤的氮源能够较长时间以NH<sub>4</sub><sup>+</sup>-N形态存在,供作物吸收利用。这不仅提高肥效,而且减少NO<sub>2</sub><sup>-</sup>-N、NO<sub>3</sub><sup>-</sup>-N淋溶和反硝化造成的氮肥损失,降低环境污染以及减少硝酸盐在植物体内的累积<sup>[4~6]</sup>。同时硝化抑制剂,特别是双氢胺(DCD)能减少土壤CH<sub>4</sub>的产生排放量<sup>[7]</sup>。

目前,广泛应用于农业生产中的硝化抑制剂双氢胺(DCD)具有挥发性弱,低于施氮量10%剂量下在土壤中无毒性残留等优点。国内外有关DCD的研究多侧重于对不同土壤类型和质地的硝化抑制作用<sup>[8~10]</sup>。此外,Boeckx等<sup>[11]</sup>通过稻麦轮作淋溶土的稻季盆栽试验发现,尿素和DCD混施能减少47%的N<sub>2</sub>O排放量和53%的CH<sub>4</sub>排放量。Weiske等<sup>[12]</sup>通过3a的田间试验发现DCD能减少26%的N<sub>2</sub>O排放,但对CH<sub>4</sub>排放几乎无影响。这些研究中硝化抑制剂大都在作物移栽或播种前和基肥配合施用。就稻田而言,由于水稻移栽后、中期烤田前持续淹水,土壤硝化作用受到极大抑制,移栽前施入的硝化抑制剂在这段时间基本发挥不了作用而白白消耗。烤田期及随后复水期,土壤水分变化剧烈,硝化反硝化反应旺盛,调节DCD施用时间至烤田开始前或干脆至穗肥后,硝化抑制剂DCD对N<sub>2</sub>O和CH<sub>4</sub>产生排放的影响会发生怎样的变化呢?本文通过温室盆栽试验研究了不同时间施用硝化抑制剂DCD对水稻生长期CH<sub>4</sub>和N<sub>2</sub>O排放的影响(以相同施肥条件下不施DCD的CK处理为对照),旨在为合理施用农田氮肥、提高氮肥利用率及降低环境污染等方面提供科学依据。

## 1 材料与方法

### 1.1 试验设计

供试土壤采自江苏省宜兴市大浦镇(31°17'N, 119°54'E)的水稻田。土壤类型为黄泥土,其基本理化性质为土壤全C和全N含量分别是12.6 g/kg和1.3 g/kg,pH值6.23,砂粒(2~0.02 mm)32.6%,粉粒(0.02~0.002)42.9%,粘粒(<0.002)24.5%,CEC 16.44 C<sub>mol</sub>(+)·kg<sup>-1</sup>。试验为盆栽试验,盆钵为圆柱体,直径25 cm,高35 cm,每盆装土16 kg。水稻于6月11日移栽,10月28日收获,生长期139 d。依水稻生长期硝化抑制剂DCD不同施用时间设4个处理:①对照处理(CK),施肥情况与其他处理相同,不施DCD;②早施DCD,水稻移栽前DCD与基肥混施;③缓施DCD,分蘖肥后10 d(烤田开始前3 d)施入;④晚施DCD,穗肥后10 d(水稻移栽后65 d)施入。每个处理设3个重复,共12盆钵,随机排列。

## 1.2 水肥管理

水分管理采用传统的前期淹水(6月11日~7月10日)、中期烤田(7月11日~7月23日)和后期干湿交替(7月24日~10月28日)的管理模式。N、P、K 肥施用量为每盆尿素 3.74g 尿素(以土重计相当于 270kgN·hm<sup>-2</sup>)、KH<sub>2</sub>PO<sub>4</sub> 0.84g、KCl 0.24g, 其中 N:P<sub>2</sub>O<sub>5</sub>:K<sub>2</sub>O = 2:1:1。水稻移栽前施入基肥, 基肥施氮量为设计施氮量的 50%, KH<sub>2</sub>PO<sub>4</sub> 和 KCl 全部作为基肥施入; 分蘖肥和穗肥分别于 6 月 27 日和 8 月 4 日施入, 施氮量均为设计施氮量的 25%。硝化抑制剂 DCD 的施用量为设计施氮量的 4%。

## 1.3 采样和测定

采集气样时, 将有机玻璃采气箱(30cm × 30cm × 100cm)放置在 5cm 深的水槽(与顶端下 5cm 处盆钵外侧焊为一体)中。通过插进密封采样垫的两通针采集箱内气体于 18ml 真空瓶中, 每隔 10min 采一次样, 共 4 次。CH<sub>4</sub> 由带有氢火焰离子检测器的气相色谱仪(岛津 GC-12A)测定, N<sub>2</sub>O 由带有 Ni<sup>63</sup> 电子捕获检测器的气相色谱仪(岛津 GC-14A)测定。N<sub>2</sub>O 标准气由日本国立农业环境技术研究所温室气体研究团队提供, CH<sub>4</sub> 标准气由南京气体厂提供。

土壤溶液则由预先埋入盆钵的溶液采集器收集到专用真空瓶, 4℃ 保存, 后采用 Skalar 流动分析仪测定 NH<sub>4</sub><sup>+</sup>-N 和 NO<sub>3</sub><sup>-</sup>-N 浓度。土壤 Eh 通过插入盆钵土壤的三支铂电极(深度为 10cm)用便携式土壤 Eh 计测定, 由于仪器故障造成水稻移栽后 19d 至 24d 的土壤 Eh 数据缺失。土表、5cm 及 10cm 土层深度土壤温度由带温度探针的便携式温度计测定, 土壤温度由不同深度土温的平均值表示。

## 1.4 CH<sub>4</sub> 和 N<sub>2</sub>O 排放通量计算

$$\text{CH}_4 \text{ 和 } \text{N}_2\text{O} \text{ 排放通量计算公式为: } F = \rho \frac{V}{A} \frac{dC}{dt} \frac{273}{273 + T}$$

式中,  $F$  为 CH<sub>4</sub> 和 N<sub>2</sub>O 排放通量, 单位分别为 mg/(m<sup>2</sup>·h) 和 μg/(m<sup>2</sup>·h);  $\rho$  为标准状态下 CH<sub>4</sub> 和 N<sub>2</sub>O 的密度, 其值分别是 0.714 kg/m<sup>3</sup> 和 1.25 kg/m<sup>3</sup>;  $V$  表示密闭箱内温室气体所能容纳的有效体积(m<sup>3</sup>);  $A$  为盆钵内土面面积(m<sup>2</sup>);  $\frac{dC}{dt}$  表示单位时间内密闭箱内 CH<sub>4</sub> 和 N<sub>2</sub>O 浓度的变化量;  $T$  为密闭箱内温度, 单位℃。CH<sub>4</sub> 和 N<sub>2</sub>O 排放通量用 3 个重复的平均值表示, CH<sub>4</sub> 和 N<sub>2</sub>O 季节平均排放量则是将 3 个重复的每次观测值按时间间隔加权平均后再平均。数据结果通过 SPSS(12.0) 统计软件进行分析。

## 2 结果与分析

### 2.1 CH<sub>4</sub> 和 N<sub>2</sub>O 排放的季节变化

图 1 表示各处理水稻生长期 CH<sub>4</sub> 和 N<sub>2</sub>O 排放的季节变化, 其中 CH<sub>4</sub> 和 N<sub>2</sub>O 排放通量是 3 个重复的平均

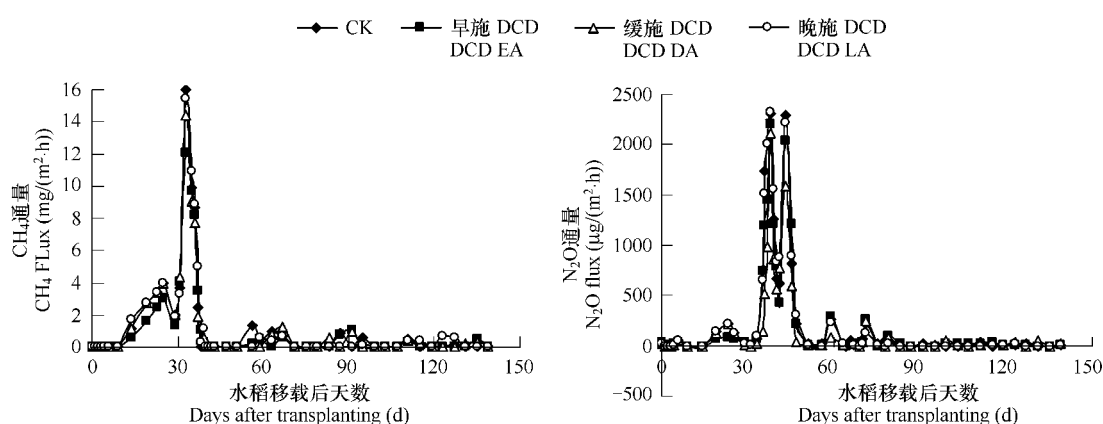


图 1 各处理水稻生长期 CH<sub>4</sub> 和 N<sub>2</sub>O 排放的季节变化

Fig. 1 Seasonal variations of CH<sub>4</sub> and N<sub>2</sub>O fluxes of different treatments during the rice growth period

EA 早施 Early Application; DA 缓施 Delayed Application; LA 晚施 Late Application; 下同 the same below

值。由图1可知,各处理水稻生长期 $\text{CH}_4$ 排放通量变化趋势基本一致。早施DCD处理在烤田开始前持续淹水阶段 $\text{CH}_4$ 排放通量略低于其他各处理,在烤田开始后其 $\text{CH}_4$ 排放峰值( $12.01 \text{ mg}/(\text{m}^2 \cdot \text{h})$ )明显低于CK对照处理( $15.97 \text{ mg}/(\text{m}^2 \cdot \text{h})$ ),缓施DCD和晚施DCD对 $\text{CH}_4$ 排放影响不大(排放峰值分别是 $14.44 \text{ mg}/(\text{m}^2 \cdot \text{h})$ 和 $15.40 \text{ mg}/(\text{m}^2 \cdot \text{h})$ )。整个水稻生长期 $\text{CH}_4$ 排放集中在烤田开始后,并在烤田结束前降为零;水稻生长后期干湿交替阶段几乎无 $\text{CH}_4$ 排放。 $\text{N}_2\text{O}$ 排放峰值同样出现在烤田期及随后复水期,在此期间CK处理两次排放峰值分别是 $2.31 \text{ mg}/(\text{m}^2 \cdot \text{h})$ 和 $2.29 \text{ mg}/(\text{m}^2 \cdot \text{h})$ 。早施DCD对 $\text{N}_2\text{O}$ 排放影响较小(排放峰值分别是 $2.20 \text{ mg}/(\text{m}^2 \cdot \text{h})$ 和 $2.03 \text{ mg}/(\text{m}^2 \cdot \text{h})$ );缓施DCD明显降低 $\text{N}_2\text{O}$ 的排放量,特别是烤田结束复水后 $\text{N}_2\text{O}$ 的排放量(两次排放峰值为 $2.10 \text{ mg}/(\text{m}^2 \cdot \text{h})$ 和 $1.59 \text{ mg}/(\text{m}^2 \cdot \text{h})$ ),晚施DCD对 $\text{N}_2\text{O}$ 排放无影响(排放峰值为 $2.33 \text{ mg}/(\text{m}^2 \cdot \text{h})$ 和 $2.21 \text{ mg}/(\text{m}^2 \cdot \text{h})$ ,与CK处理 $\text{N}_2\text{O}$ 排放峰值几乎相同)。CK、早施DCD、缓施DCD及晚施DCD处理 $\text{CH}_4$ 平均排放通量分别为 $0.95$ 、 $0.75$ 、 $0.87 \text{ mg}/(\text{m}^2 \cdot \text{h})$ 及 $0.94 \text{ mg}/(\text{m}^2 \cdot \text{h})$ , $\text{N}_2\text{O}$ 平均排放通量为 $155.67$ 、 $143.24$ 、 $108.50 \mu\text{g}/(\text{m}^2 \cdot \text{h})$ 及 $153.24 \mu\text{g}/(\text{m}^2 \cdot \text{h})$ 。统计分析表明,缓施DCD显著降低 $\text{CH}_4$ 和 $\text{N}_2\text{O}$ 排放量( $p < 0.01$ )。

## 2.2 硝化抑制剂DCD对 $\text{CH}_4$ 和 $\text{N}_2\text{O}$ 排放的影响

从图2可知,就整个水稻生长期而言,早施DCD分别降低 $21.41\%$ 的 $\text{CH}_4$ 排放量和 $8.00\%$ 的 $\text{N}_2\text{O}$ 排放量(与CK处理比较);缓施DCD能显著降低 $30.30\%$ 的 $\text{N}_2\text{O}$ 排放量,同时降低 $5.24\%$ 的 $\text{CH}_4$ 排放量;晚施DCD对 $\text{CH}_4$ 和 $\text{N}_2\text{O}$ 排放的影响不大(图2a、图2c)。由于DCD的施入时间不同且发挥作用的有效时间较短,与较长时间的水稻生长期(139d)内 $\text{CH}_4$ 和 $\text{N}_2\text{O}$ 的排放情况相比,DCD短时间引起的变化可能并不显著,所以比较各处理施入DCD后至水稻收获期间 $\text{CH}_4$ 和 $\text{N}_2\text{O}$ 的排放差异更能说明DCD对稻田土壤 $\text{CH}_4$ 和 $\text{N}_2\text{O}$ 排放的影响。结果表明,与CK处理相比,缓施DCD显著降低 $32.65\%$ 的 $\text{N}_2\text{O}$ 排放量,同时降低 $11.18\%$ 的 $\text{CH}_4$ 排放量;晚施DCD则分别降低 $18.41\%$ 的 $\text{CH}_4$ 排放量和 $4.98\%$ 的 $\text{N}_2\text{O}$ 排放量(图2b、图2d)。可见,无论整个水稻生

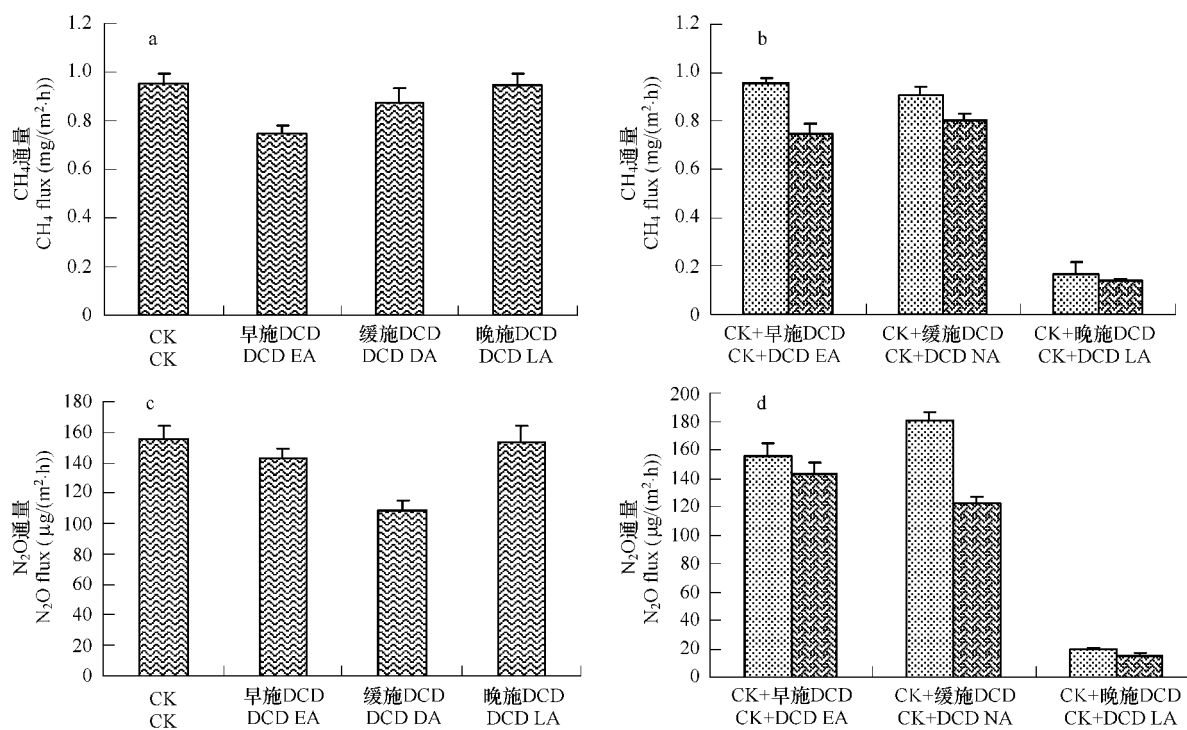


图2 施用DCD对整个水稻生长期及对DCD施入后至水稻收获期间 $\text{CH}_4$ 和 $\text{N}_2\text{O}$ 排放的影响

Fig. 2 Effect of DCD application on  $\text{CH}_4$  and  $\text{N}_2\text{O}$  emissions during the whole rice growth period and during the days from DCD application to rice harvest  
竖条代表标准偏差( $n=3$ ) Bars indicate SD ( $n=3$ )

长期还是施入 DCD 之后到水稻收获期, 施入 DCD 能同时降低  $\text{CH}_4$  和  $\text{N}_2\text{O}$  排放量。分蘖肥后、烤田开始前施入 DCD 能显著降低  $\text{N}_2\text{O}$  排放量, 降幅达 30% 以上; 水稻移栽前与基肥混施 DCD 能有效降低  $\text{CH}_4$  排放量, 降幅达 20% 以上。

图 3 表示各处理水稻生长期  $\text{NH}_4^+$ -N 和  $\text{NO}_3^-$ -N 的季节变化。由图 3 可知, 早施 DCD 使烤田开始前持续淹水阶段  $\text{NH}_4^+$ -N 浓度偏高(水稻移栽后第 0~10d)。随着烤田的进行  $\text{NH}_4^+$ -N 浓度逐渐降低, 烤田结束时基本降为最低, 此时  $\text{NO}_3^-$ -N 浓度最高。CK、早施 DCD、缓施 DCD 及晚施 DCD 处理  $\text{NO}_3^-$ -N 最高浓度分别是 42.26, 39.54, 35.01 mg/L 和 43.32 mg/L, 分蘖肥后施入 DCD 对硝化反应的抑制效果最明显。水稻生长后期土壤中  $\text{NH}_4^+$ -N 和  $\text{NO}_3^-$ -N 浓度较低造成后期干湿交替阶段几乎无  $\text{N}_2\text{O}$  排放, 因此穗肥后(水稻移栽后 65d)施入 DCD 对  $\text{N}_2\text{O}$  排放影响不大。

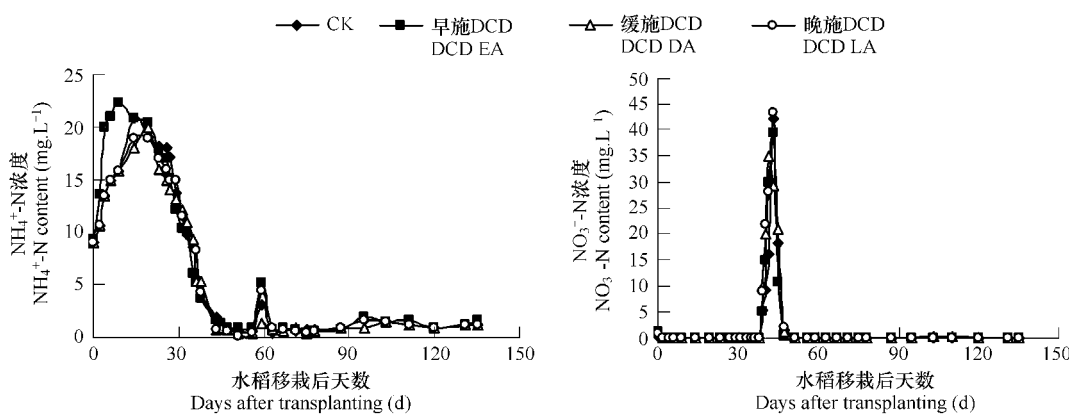


图 3 水稻生长期  $\text{NH}_4^+$ -N 和  $\text{NO}_3^-$ -N 的季节变化

Fig. 3 Seasonal variations of  $\text{NH}_4^+$ -N and  $\text{NO}_3^-$ -N concentrations during rice growth period

### 2.3 土壤 Eh 和土壤温度对 $\text{CH}_4$ 和 $\text{N}_2\text{O}$ 排放的影响

除硝化抑制剂外, 土壤 Eh 和土壤温度是影响稻田土壤  $\text{CH}_4$  和  $\text{N}_2\text{O}$  排放的重要因素。水稻移栽后 30d 对土壤进行充分烤田, 此时稻田水分剧烈变化, 土壤 Eh 出现大幅度上升趋势; 后期干湿交替阶段土壤 Eh 一直处于较高的水平(图 4)。CK、早施 DCD、缓施 DCD 及晚施 DCD 处理烤田期间土壤 Eh 峰值分别为 582.11、525.90、494.00 mV 及 580.02 mV, 均出现在烤田开始后第 11 天(图 4)。水稻生长期施加 DCD 处理的平均土壤 Eh 为 126.69~137.073 mV, 而 CK 处理的仅为 116.23 mV。施加硝化抑制剂能够提高土壤 Eh, 这与其他研究结果一致<sup>[7,12,13]</sup>。

比较图 1、图 4 不难发现, 各处理烤田期及随后复水期  $\text{N}_2\text{O}$  的排放峰值伴随土壤 Eh 的峰值出现; 而  $\text{CH}_4$  的排放峰值则出现在土壤 Eh 达最低值时, 在土壤 Eh 达到峰值时  $\text{CH}_4$  排放量降为零。相关性分析表明, 水稻生长期  $\text{CH}_4$  排放通量与土壤 Eh 显著负相关, 而  $\text{N}_2\text{O}$  排放与土壤 Eh 无显著相关性(表 1)。

图 5 是水稻生长期土壤温度的季节变化, 各处理土壤温度为土表、5cm 和 10cm 土温的平均值。从图 5 可知, CK、早施 DCD、缓施 DCD 及晚施 DCD 处理土温的变化趋势基本一致, 烤田期及复水期(水稻移栽后 30~62d)土壤温度较高(22.64~33.96°C)。水稻生长期  $\text{N}_2\text{O}$  的排放峰值伴随土壤温度的峰值出现(图 1、图 5)。相关性分析表明, 水稻生长期  $\text{N}_2\text{O}$  排放通量与土壤温度呈显著正相关; 而  $\text{CH}_4$  排放通量与土壤温度无显著相关性(表 1)。可见, 无论施加 DCD 与否, 土壤 Eh 受水分变化而变化, 成为限制  $\text{CH}_4$  产生排放的主控因子,  $\text{CH}_4$  排放通量的变化只受土壤 Eh, 而不受土壤温度的显著影响; 土壤温度是影响稻田土壤  $\text{N}_2\text{O}$  产生排放的主要因素。

## 3 结论与讨论

### 3.1 结论

水稻生长期施入硝化抑制剂 DCD 能同时降低  $\text{CH}_4$  和  $\text{N}_2\text{O}$  的排放, DCD 施入时间不同对  $\text{CH}_4$  和  $\text{N}_2\text{O}$  排放

的影响不同。烤田前持续淹水阶段  $\text{CH}_4$  产生排放量较高, DCD 与基肥混施能有效降低 21.41%  $\text{CH}_4$  排放量;  $\text{N}_2\text{O}$  的产生排放集中在烤田期及随后复水期, 分蘖肥后、烤田开始前施入 DCD 能显著降低 30.30% 的  $\text{N}_2\text{O}$  排放量, 同时降低 5.24% 的  $\text{CH}_4$  排放量; 晚施 DCD 对  $\text{CH}_4$  和  $\text{N}_2\text{O}$  排放的影响不大。此外, 土壤温度是影响水稻生长期  $\text{N}_2\text{O}$  排放的另一主要因素,  $\text{CH}_4$  排放通量与土壤 Eh 呈显著负相关( $p < 0.01$ )。

表 1  $\text{CH}_4$  和  $\text{N}_2\text{O}$  排放通量与土壤 Eh、土壤温度的相关性分析

Table 1  $\text{CH}_4$  and  $\text{N}_2\text{O}$  fluxes and correlation analyses between  $\text{CH}_4$  and  $\text{N}_2\text{O}$  emissions and soil Eh, soil temperature

处理 Treatments	$\text{CH}_4$			$\text{N}_2\text{O}$		
	通量 Flux ( $\text{mg}/(\text{m}^2 \cdot \text{h})$ )	通量-土壤 Eh Flux-Soil Eh	通量-土温 Flux-Temperature	通量 Flux ( $\mu\text{g}/(\text{m}^2 \cdot \text{h})$ )	通量-土壤 Eh Flux-Soil Eh	通量-土温 Flux-Temperature
CK	0.95 ± 0.04a	-0.510 **	0.212	155.67 ± 8.01a	0.098	0.468 **
早施 DCD	0.75 ± 0.03c	-0.443 **	0.197	143.24 ± 6.24b	0.032	0.470 **
缓施 DCD	0.87 ± 0.06b	-0.512 **	0.189	108.50 ± 7.52c	0.020	0.400 **
晚施 DCD	0.94 ± 0.05a	-0.449 **	0.118	153.24 ± 9.21a	0.078	0.425 **

\* \* 表示在  $p = 0.01$  水平上的显著相关性 Correlation is significant at the 0.01 level

同一列不同字母表示 0.01 水平差异显著性(LSD 法) Different letters after numerical values indicated significant at 1% level (LSD)

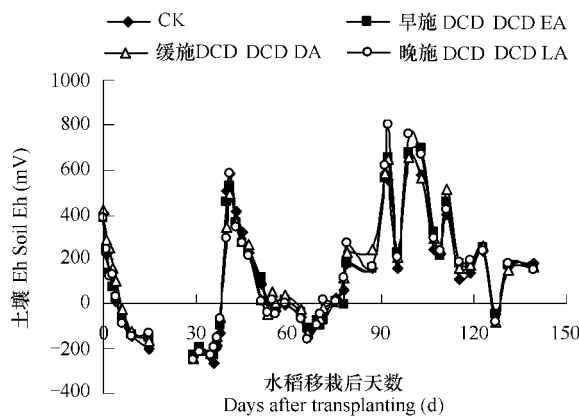


图 4 水稻生长期土壤 Eh 的季节变化

Fig. 4 Seasonal variations of soil Eh during rice growth period

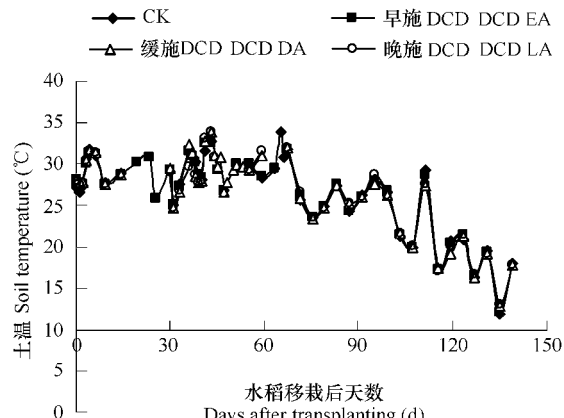


图 5 水稻生长期土壤温度的季节变化

Fig. 5 Seasonal variations of soil temperature during rice growth period

### 3.2 讨论

$\text{N}_2\text{O}$  是通过土壤中硝化和反硝化两个主要的微生物过程生成的, 而  $\text{CH}_4$  是极端还原条件下产  $\text{CH}_4$  菌活动的产物。水稻是喜铵作物, 土壤中施加硝化抑制剂可以使施入氮源能够较长时间以  $\text{NH}_4^+ \text{-N}$  的形态存在, 供作物吸收利用。水稻移栽后、中期烤田前持续淹水抑制土壤的硝化作用, 移栽前施入的 DCD 在这段时间(30d 左右)基本不能发挥作用。与不施 DCD 相比, 早施 DCD 对水稻生长期  $\text{N}_2\text{O}$  排放几乎无影响, 但使  $\text{CH}_4$  排放略微降低(图 1)。稻田中期烤田期间土壤中存在大量的  $\text{NH}_4^+ \text{-N}$  和  $\text{NO}_3^- \text{-N}$ <sup>[14]</sup>, 为硝化反硝化反应提供基础, 此时施入 DCD 能有效抑制  $\text{N}_2\text{O}$  产生排放。前人研究发现, DCD 在土壤中的有效时间为 6 周<sup>[15]</sup>, 而且起初阶段 DCD 活性较好, 随着时间的推移, 其效果逐渐下降<sup>[16,17]</sup>。随着作物对土壤中氮素的吸收及硝化反硝化的进行, 土壤中缺少氮源, 晚施 DCD 即使其活性较高也不能抑制稻田土壤  $\text{N}_2\text{O}$  的排放。

硝化抑制剂的作用效果受土壤类型、施肥种类及施氮量、硝化抑制剂施用量、土壤温度及土壤水分等综合因素的影响。其他研究发现, 旱地砂壤土中施入 DCD 能减少 40% 的  $\text{N}_2\text{O}$  排放, 湿润的粘质土条件下几乎无抑制效果<sup>[18]</sup>, 而本试验土壤以砂粒和粉粒为主(占 75.5%), 通透性较好。也有人指出, DCD 施用量为 15% 尿素施氮水平下, DCD 与尿素混施能降低 43% 的  $\text{N}_2\text{O}$  排放量<sup>[15]</sup>; DCD 施用量降为尿素施氮量 10% 时, DCD

与尿素混施却能减少 52% 的 N<sub>2</sub>O 排放量<sup>[19]</sup>。本试验条件下, DCD 施用量仅为尿素施氮量的 4%, 且水稻生长期土壤经历充分烤田且 DCD 施用时的土壤温度不同, 这些因素都影响稻田土壤 CH<sub>4</sub> 和 N<sub>2</sub>O 的排放。推迟硝化抑制剂 (DCD) 施用时间至水分剧烈变化的烤田前能显著降低 N<sub>2</sub>O 的排放而有效降低 CH<sub>4</sub> 排放, 为完善稻田水肥管理、控制温室气体排放提供科学依据。

#### References:

- [1] IPCC. Climate Change 2001: The Science Basis: Chapter 4. Atmosphere Chemistry and Greenhouse Gases. Cambridge: Cambridge University Press UK, 2001.
- [2] Crutzen P J. Atmospheric chemical processes of the oxides of nitrogen including nitrous oxide. In: Delwiche, C. C. ed. Denitrification, nitrification and atmospheric nitrous oxide. Wiley, New York, 1991, 17–44.
- [3] FAO, IAEA. Measurement of methane and nitrous oxide emissions from agriculture. A joint undertaking by the food and agriculture organization of the united nations and international atomic energy agency. Vienna: International Atomic Energy Agency, 1992. 5–6.
- [4] Sun A W, Shi Y L, Zhang D S, et al. Application of nitrification/urease inhibitor in agriculture. Chinese Journal of Soil Science, 2004, 35 (3): 357–361.
- [5] Huang Z Y, Feng Z W, Zhang D S, et al. Research progress of nitrification inhibitors applied in agriculture. Chinese Journal of Soil Science, 2002, 33(4): 310–315.
- [6] Huang Z Y, Feng Z W, Zhang F Z. Application of nitrpyrin in agriculture and environmental protection. Soil and Environmental Sciences, 2001, 10(4): 323–326.
- [7] Bharati K, Mohanty S R, Padmavathi P V L, et al. Influence of six nitrification inhibitors on methane production in a flooded alluvial soil. Nutr. Cycl. Agroecosyst, 2000, 58: 389–394.
- [8] Amberger A. Research on dicyandiamide as a nitrification inhibitor and future outlook. Commun. in Soil Sci. Plant Anal., 1989, 20: 1993–1995.
- [9] Chen L J, Boeckx P, Zhou L K, et al. Effect of hydroquinone, dicyandiamide and encausulated calcium carbide on urea-N uptake by spring wheat, soil mineral N content and N<sub>2</sub>O emission. Soil Use and Management, 1998, 14: 220–233.
- [10] Yang C X, Li Y M. Nitrification inhibition of dicyandiamide on urea in the red soil of different textures. Chinese Journal of Eco-Agriculture, 2006, 14(2): 111–113.
- [11] Boeckx P, Xu X K, Van Cleemput O. Mitigation of N<sub>2</sub>O and CH<sub>4</sub> emission from rice and wheat cropping systems using dicyandiamide and hydroquinone. Nutrient Cycling in Agroecosystems, 2005, 72: 41–49.
- [12] Weiske A, Benckiser G, Herbert T, et al. Influence of the nitrification inhibitor 3,4-dimethylpyrazole phosphate (DMPP) in comparison to dicyandiamide (DCD) on nitrous oxide, carbon dioxide fluxes and methane oxidation during 3 years of repeated application in field experiments. Biol Fertil Soils, 2001, 34: 109–117.
- [13] Xu X K, Boeckx P, Oswald Van Cleemput, et al. Urease and nitrification inhibitors to reduce emissions of CH<sub>4</sub> and N<sub>2</sub>O in rice production. Nutrient Cycling in Agroecosystems, 2002, 64: 203–211.
- [14] Li X L, Xu H, Gao J L, et al. Effect of water management on N<sub>2</sub>O emission during rice growth period. Soils, 2006, 38(6): 703–707.
- [15] Majumdar D, Kumar S, Pathak H, et al. Reducing nitrous oxide emission from an irrigated rice field of North India with nitrification inhibitors. Agriculture Ecosystem&Environment, 2000, 81: 163–169.
- [16] Majumdar D, Dutta A, Kumar S, et al. Mitigation of N<sub>2</sub>O emission from an alluvial soil by application of Karanjin. Biol Fertil Soils, 2001, 33: 438–442.
- [17] Joseph P A, Prasad R. The effect of dicyandiamide and neem cake on the nitrification of urea derived ammonium under field condition. Biol Fertil Soil, 1993, 15: 149–152.
- [18] Skiba U, Smith K A, Fowler D. Nitrification and denitrification as sources of nitric oxide and nitrous oxide in a sandy loam soil. Soil Biol. Biochem, 1993, 11: 1527–1536.
- [19] Mosier A R, Duxbury J M, Freney J R, et al. Nitrous oxide emissions from agricultural fields: assessment, measurement and mitigation. Plant and Soil, 1996, 181: 95–108.

#### 参考文献:

- [4] 孙爱文, 石元亮, 张德生, 等. 硝化/脲酶抑制剂在农业中的应用. 土壤通报, 2004, 35 (3): 357~361.
- [5] 黄益宗, 冯宗炜, 王效科, 等. 硝化抑制剂在农业上应用的研究进展. 土壤通报, 2002, 33 (4): 310~315.
- [6] 黄益宗, 冯宗炜, 张福珠. 硝化抑制剂硝基吡啶在农业和环境保护中的应用. 土壤与环境, 2001, 10(4): 323~326.
- [10] 杨春霞, 李永梅. 双氰胺对不同质地红壤中尿素的硝化抑制作用研究. 中国生态农业学报, 2006, 14(2): 111~113.
- [14] 李香兰, 徐华, 曹金留, 等. 水分管理对水稻生长期 N<sub>2</sub>O 排放的影响. 土壤, 2006, 38(6): 703~707.